

**Zeitschrift:** Archives des sciences [1948-1980]  
**Herausgeber:** Société de Physique et d'Histoire Naturelle de Genève  
**Band:** 24 (1971)  
**Heft:** 2

**Artikel:** Les foraminifères du Dogger du Jura méridional (France)  
**Autor:** Wernli, Roland  
**Bibliographie:** Bibliographie sommaire  
**DOI:** <https://doi.org/10.5169/seals-739706>

#### Nutzungsbedingungen

Die ETH-Bibliothek ist die Anbieterin der digitalisierten Zeitschriften auf E-Periodica. Sie besitzt keine Urheberrechte an den Zeitschriften und ist nicht verantwortlich für deren Inhalte. Die Rechte liegen in der Regel bei den Herausgebern beziehungsweise den externen Rechteinhabern. Das Veröffentlichen von Bildern in Print- und Online-Publikationen sowie auf Social Media-Kanälen oder Webseiten ist nur mit vorheriger Genehmigung der Rechteinhaber erlaubt. [Mehr erfahren](#)

#### Conditions d'utilisation

L'ETH Library est le fournisseur des revues numérisées. Elle ne détient aucun droit d'auteur sur les revues et n'est pas responsable de leur contenu. En règle générale, les droits sont détenus par les éditeurs ou les détenteurs de droits externes. La reproduction d'images dans des publications imprimées ou en ligne ainsi que sur des canaux de médias sociaux ou des sites web n'est autorisée qu'avec l'accord préalable des détenteurs des droits. [En savoir plus](#)

#### Terms of use

The ETH Library is the provider of the digitised journals. It does not own any copyrights to the journals and is not responsible for their content. The rights usually lie with the publishers or the external rights holders. Publishing images in print and online publications, as well as on social media channels or websites, is only permitted with the prior consent of the rights holders. [Find out more](#)

**Download PDF:** 06.07.2025

**ETH-Bibliothek Zürich, E-Periodica, <https://www.e-periodica.ch>**

## BIBLIOGRAPHIE SOMMAIRE

Pour une bibliographie plus complète des œuvres anciennes, voir BARTENSTEIN et BRAND (1937).

- ADAMS, G. C. (1957). A study of the morphology and variation of some Upper Lias Foraminifera. *Micropaleontology*, vol. 3, n° 3, pp. 205-226, New York.
- AUROUZE, G., J. BELLON, J-J. BIZON et C.L. JOURNEL (1956). Sur la présence du g. *Kilianina* dans le Bassin de Paris. *Bull. Soc. Geol. France*, 6,6<sup>e</sup> ser., 1, pp. 221-225. Paris.
- BARBULESCU, A. et T. NAEGU (1970). Los Foraminiferos neojurassicos de Topalu (Dobrogea centrale, Rumania). *Rev. Espan. Micropal.*, vol. 2, n° 2, pp. 105-116, Madrid.
- BARNARD, T. (1950). Foraminifera from the lower Lias of the Dorset Coast. *Quart. Jour. Geol. Soc. London*, vol. CV, pt. 3, 1949, pp. 347-388, London.
- (1950b). Foraminifera from the Upper Lias of Byfield, Northamptonshire. *Quart. Jour. Geol. Soc. London*, vol. 106, pt. 1, pp. 1-36, London.
- (1950c). The uses of Foraminifera in Lower Jurassic Stratigraphy. *18<sup>e</sup> Intern. Geol. Congress, Great Britain 1948*, Report pt. 15, pp. 34-41, London.
- (1952). Foraminifera from the Upper Oxford-Clay (Jurassic) of Warboys, Huntingdonshire. *Proc. Geol. Assoc.*, vol. 63, n° 4, pp. 336-350, London.
- (1953). Foraminifera from the Upper Oxford-Clay (Jurassic) of Redcliff Point, near Weymouth, England. *Proc. Geol. Assoc.*, vol. 64, pp. 183-197, London.
- (1956). Some *Lingulinae* from the Lias of England. *Micropal.*, vol. 2, n° 3, pp. 271-282, New-York.
- (1957). Frondicularia from the Lower Lias of England. *Micropal.*, vol. 3, n° 2, pp. 171-181, New-York.
- (1963). Evolution in certain biocharacters of selected Jurassic *Lagenidae*. in *Evolutionary trends in Foraminifera*. Elsevier Publ. Co., pp. 79-92, Amsterdam-London-New-York.
- BARTENSTEIN, H. (1948). Entwicklung der Gattung *Lenticulina* (*Lenticulina*) LAMARCK 1804 mit Untergattungen (Foram.) Senckenbergiana, vol. 29, pp. 41-65, Frankfurt am Main.
- et E. BRAND (1937). Mikro-paleontologische Untersuchungen zur Stratigraphie des Nordwestdeutschen Lias und Dogger. *Abh. Senckend. Naturforsch. Ges.*, n° 439, pp. 1-202, Frankfurt am Main.
- BASTIEN, M. TH. et J. SIGAL (1962). Contribution à l'étude paléontologique de l'Oxfordien supérieur de Trept (Isère). *Trav. Lab. Geol. Lyon*, n.s. n° 8, pp. 83-123, Lyon.
- BIELECKA, W. et O. STICK (1969). Some stratigraphically important Kuiavian and Bathonian Foraminifera of Polish Lowland. *Ann. Soc. Geol. Pologne*, vol. 39, fasc. 1-3, pp. 515-532, Warsawa.
- BIZON, J. J. (1958). Foraminifères et Ostracodes de l'Oxfordien de Villers-sur-mer (Calvados). *Rev. Inst. Fr. Pétrol.*, vol. 13, pp. 3-45, Paris.
- (1960). Révision de quelques espèces-types de Foraminifères du Lias du Bassin parisien de la collection Terquem. *Rev. Micropal.*, vol. 3, n° 1, pp. 3-18, Paris.
- et H. OERTLI (1961). Contribution à l'étude micropaléontologique du Lias du Bassin de Paris, 7<sup>e</sup> partie. *Colloque Lias français Chambéry*, pp. 107-119. *Mém. BRGM*, n° 4, Paris.
- BRÖNNIMANN, P., A. POISSON et L. ZANINETTI (1970). L'unité du Domuz Dag (Taurus lycien-Turquie). Microfacies et Foraminifères du Trias et du Lias. *Riv. Ital. Paleont.*, v. 76, n° 1, pp. 1-36, Milano.
- et R. WERNLI (1971). Les « Globigérines » du Dogger du Jura méridional (France). *Proceedings of the II Planktonic Conference, Roma*, 1970, Ed. Tecnoscienza.
- BROUWER, J. (1969). Foraminiferal assemblages from the Lias of NW Europe. *Ver. Konink. Nederl. Akad. van Wetenschappen*, e.r. deel 25, n° 4, pp. 1-48, Amsterdam.
- BRUN, L. (1969). Etude biostratigraphique du Jurassique de la bordure atlascique N orientale ... (E Maroc). *Proceed. III<sup>e</sup> Afric. Microp. Colloquium*, Cairo, pp. 185-214, publ. NIDOC, Cairo.
- CIFELLI, R. (1959). Bathonian Foraminifera of England. *Bull. of the Museum of Comparative Zoology Harvard College*, vol. 121, n° 7, pp. 265-368, Cambridge.
- (1960). Variation of English Bathonian *Lagenidae* and its phylogenetic significance. *Journ. Paleont.*, vol. 34, pp. 556-569, Tulsa.

- CIFELLI, R. (1960). Notes on the Distribution of English Bathonian Foraminifera. *Geol. Magaz.* vol. 97, n° 1, pp. 19-33, Hertford, Herts.
- CONTINI, D. et P. PARIWATVORN (1964). Etude comparée de la microfaune du Lias supérieur d'Asel-fingen (Jura du Randen) et de Pouilly les Vignes (Jura Franc-Comtois). *Ann. Scient. Univ. Besançon*, 2<sup>e</sup> s. Geol., fasc. 18, pp. 35-44, Besançon.
- et M. RABBE (1967). Répartition stratigraphique des Foraminifères du Lias des Avants-Monts du Jura et de la dépression de Vesoul. *Ann. Scient. Univ. Besançon*, 3<sup>e</sup>s., Geol., fasc. 3, pp. 29-35, Besançon.
- CORDEY, W. G. (1962). Foraminifera from the Oxford Clay of Staffin Bay, Isle of Skye, Scotland. *Senck. leth.*, Bd. 43, n° 5, pp. 375-409, Frankfurt am Main.
- (1963). The genus Brotzenia and Voorthuysenia Hofker. Classification of *Epistomariidae*. *Paleontology*, vol. 6, pt. 4, pp. 653-657, London.
- DIENI, I. et F. MASSARI (1965). Osservazioni sul genera Paalzowella Cushmann, 1933. *Rend. Lincei Sc. fis. mat. e naturali*, ser. 8, vol. 39, fasc. 1-2, pp. 113-117, Roma.
- et F. MASSARI (1964). Osservazioni sulla struttura del guscio di alcuni rappresentanti della famiglia *Spirillinidae* REUSS, 1862. *Boll. Soc. Pal. Italiana*, vol. 3, n° 2, pp. 219-226, Roma.
- DUFUAURE, PH. (1958). Contribution à l'étude stratigraphique et micropaléontologique du Jurassique et Néocomien de l'Aquitaine à la Provence. *Rev. Micropal.*, vol. 1, n° 2, pp. 87-115, Paris.
- ENAY, R. (1966). L'Oxfordien dans la moitié sud du Jura français. *Nouv. Archiv. Museum Hist. Nat. Lyon*, fasc. 8, 2 vol., pp. 1-624, Lyon.
- et S. ELMY (1964). Précisions sur la stratigraphie de l'Aalénien dans le Bugey occidental. *Colloque du Jurassique, Luxembourg*, 1962, pp. 559-565, Luxembourg.
- et C. MANGOLD (1965). A propos de la limite Dogger/Malm; le contact Callovien-Oxfordien dans le Jura méridional. *Geol. Assoc., 7<sup>e</sup> Congress Carpath. Balkan.*, Sofia, Report, pt. 2, vol. 1, pp. 91-98, Sofia.
- ESPITALIE, J. et J. SIGAL (1960). Microfaunes du Domérien du Jura méridional et du Détrit de Rodez. *Rev. Micropal.*, vol. 3, n° 1, pp. 52-59, Paris.
- et J. SIGAL (1963a). Contribution à l'étude des Foraminifères du Jurassique supérieur et du Néocomien du Bassin de la Majunga (Madagascar). *Ann. Géol. Madagascar*, fasc. 32, pp. 1-100, Tananarive.
- et J. SIGAL (1963b). *Epistominidae* du Lias supérieur et Bajocien du Bassin de la Majunga (Madagascar), genres *Lamarkella* et *Garantella* KAPT.-TSCHERN., *Reinholdella* Brotz. *Rev. Micropal.* vol. 6, n° 2, pp. 109-119, Paris.
- FAHRION, H. (1935). Die Mikrofauna des Unteren Dogger in Schwaben. *Dissert.* Tübingen.
- FARINACCI, A. (1964). Sulla posizione sistematica e stratigrafica di *Protopeneroplis striata* WEINSCHENK, 1950 (Foraminifera). *Geol. Romana*, vol. 3, pp. 41-48, Roma.
- et R. RADOICIC (1964). Correlazione fra serie giuresi e cretacee dell'Appennino centrale e delle Dinaridi esterne. *Ric. Scient. Rendic.*, A., vol. 7, n° 2, ser. 2, pp. 269-300, Roma.
- FEIFEL, K. (1930). Über Foraminiferen der Schwammkalke des Schwäbischen weissen Jura. *Pal. Zeit.*, vol. 12, pp. 42-47, Berlin.
- FERNET, P. (1960). Etude micropaléontologique du Jurassique du forage de Saint-Félix (Charente). *Rev. Micropal.* vol. 3, n° 1, pp. 19-30, Paris.
- FRANKE, A. (1936). Die Foraminiferen des deutschen Lias. *Abh. Preuss. Geol. Landesanst.*, N. F., N. 169, pp. 1-138, Berlin.
- FRENTZEN, K. (1941). Die Foraminiferen-Fauna des Lias, Dogger und unteren Malm der Umgebung von Blumberg. *Beitr. Naturk. Forsch. Oberheimgebiet*, vol. 6, pp. 125-402, Karlsruhe i.B.
- GARROT, H., R. LACASSAGNE et G. NOUET (1958). Caractères microstratigraphiques du Dogger des Ardennes et liaisons avec certains sondages de Normandie. *Rev. Micropal.*, vol. 1, n° 4, pp. 208-216, Paris.
- GORDON, W. A. (1962). Some foraminifera from the Ampthill Clay, Upper Jurassic of Cambridgeshire. *Paleontology*, vol. 4, part. 4, pp. 520-537, London.
- (1965). Foraminifera from the Corallian Beds, Upper Jurassic of Dorset, England. *Journ. of Paleontology*, vol. 39, n° 5, pp. 828-863, Wisconsin.

- GISIGER, M. (1965). Essai de stratigraphie par la microfaune dans le Lias supérieur et le Dogger des Préalpes plastiques médianes fribourgeoises ... *Eclog. Geol. Helv.*, vol. 58, n° 2, pp. 1001-1003, Bâle.
- GISIGER, M. (1967). Géologie de la région Lac Noir-Kaiseregg-Schafberg (Préalpes Médianes plastiques fribourgeoises et bernoises). *Eclog. Geol. Helv.*, vol. 60, n° 1, pp. 237-349, Bâle.
- GORDON, W. A. (1966). Variations and significance in classification of some English Middle and Upper Jurassic nodosariid Foraminifera. *Micropaleontology* vol. 12, n° 3, pp. 325-333, New-York.
- (1967). Foraminifera from the Callovian of Brora, Scotland. *Micropaleontology*, vol. 13, n° 4, pp. 445-464, New-York.
- (1970). Biogeography of Jurassic foraminifera. *Geol. Soc. America Bull.*, vol. 81, n° 6, pp. 1689-1704, Boulder, Colorado.
- GROISS, J. TH. (1964). Geologische und mikropaläontologische Untersuchungen im Juragebiet westlich von Neuburg an der Donau. *Erlanger Geol. Abh.*, n° 48, pp. 1-53, 11 figg., 3 tavv., Erlangen.
- GÜMBEL, C. W. (1861). Die Streitberger Schwammlager und ihre Foraminiferen einschlüsse. *Jh. Ver. vater. Naturk. Wurtt.*, vol. 18, pp. 192-238, Stuttgart.
- HAEUSLER, R. (1890), Monographie der Foraminiferen der Schweizerischen Transversarius-Zone. *Abh. d. Paläont. Gesell.*, vol. 17, p. 1-134, Bâle.
- HOFKER, J. (1951). The tooth-plate Foraminifera. *Arch. Neerland. Zool.*, t. 8, h 4, Leiden.
- (1954). Über die Famille *Epistomariidae* nov. fam. *Paleontographica*, A, vol. 105, 3-6 pp. 166-206, Stuttgart.
- KALANTARI, A. (1969). Foraminifera from the middle Jurassic and Cretace successions of Koppet-Dagh region, NE Iran. *Nat. Iran Oil Comp.*, public. n° 3, pp. 1-287, Teheran.
- KOPIK, J. (1960). Micropaleontological characteristic of Lias and Lower Dogger in Poland (en polonais). *Kwartalnik Geol.*, t. 4, n° 4, pp. 921-935, Warsawa.
- (1969). On some representatives of the Fam. *Nodosariidae* from the middle Jurassic of Poland (en polonais). *Ann. Soc. Geol. Pologne*, vol. 39, fasc. 1-3, pp. 533-549, Warsawa.
- KRISTAN-TOLLMANN E. (1962). Stratigraphisch wertvolle Foraminiferen aus Obertrias-und Liaskalken der voralpinen Fazies bei Wien. *Erdoel-Zeitschrift*, Heft 4, pp. 228-233. Wien.
- KUHN, O. (1936). Foraminiferen aus dem deutschen Ornatenton. *Centralbl. für Mineralogie*, Jahrg. 1936, Abt. B, n° 10, Stuttgart.
- KUZNEKOVA, K. I. (1961). Importance taxonomique de quelques caractères morphologiques des Lenticulines jurassiques (en russe). *Voprosy Mikropaleontol.*, n° 4 (Traduct. BRGM. n° 3227). Moscou.
- (1961). Rapports génétiques entre les espèces du groupe *Lenticulina polonica* dans les formations jurassiques de la plateforme russe (en russe). *Voprosy Mikropaleontol.* n° 5, (Traduct. BRGM. n° 3578-4) Moscou.
- (1962). Limites de la distribution verticale des espèces de Lagenidés du Jurassique de la Volga (en russe). *Voprosy Mikropaleontol.* n° 6 (Traduct. BRGM) n° 4121. Moscou.
- LINDENBERG, H. G. (1966). *Ammopalmula* n.g., und *Ammobaculites* Cushman, 1910. *Senck. leth.*, Bd. 47, n° 5-6, pp. 461, 480, Frankfurt am Main.
- (1967). Untersuch. an Lituoliden Foraminiferen, SW deutschen Dogger, 2: Die Arten von *Haplophragmium* u. *Triplasia*. *Abh. Senck. naturf. Ges.*, vol. 514, pp. 1-174, Frankfurt am Main.
- LLOYD, A. J. (1959). Arenaceous Foraminifera from the type Kimeridgian. *Paleontology*, vol. 1, pt. 4, pp. 298-320, London.
- (1962). Polymorphinid, miliolid and rotaliform foraminifera from the type Kimmeridgian. *Micropaleontology*, vol. 8, n° 3, pp. 369-383, New-York.
- LOEBLICH, A. R. et H. TAPPAN (1950). North American jurassic Foraminifera; 2. Characteristic western interior Callovian species. *Journ. Washington Acad. Sciences*, vol. 40, n° 1, pp. 1-16, Washington.
- et H. TAPPAN (1950). North American jurassic Foraminifera; 1. The type Redwater shale (Oxfordian) of South Dakota. *Jour. Paleont.*, vol. 24, n° 1, pp. 39-60, Tulsa.

- et H. TAPPAN (1952). The Foraminiferal genus *Triplasia* Reuss, 1854. *Smiths. Miscell. Coll.*, vol. 117, n° 15, pp. 1-52, Washington.
- et H. TAPPAN (1964). Treatise on Invertebrate Paleontology, pt. C. Protista 2, vol. 1-2, pp. 1-900, *Univ. Kansas press.*
- LUTZE, G. F. (1960). Zur Stratigraphie und Paläontologie des Callovien und Oxfordien in Nordwest-Deutschland. *Geol. Jb.*, vol. 77, pp. 391-532, Hannover.
- MAGNE, J. (1966). Contribution à l'étude micropaléontologique du Dogger de Muret-le-Château, Causses Comtal-Aveyron. *Eclog. Geol. Helv.*, vol. 59/1, pp. 65-72, Bâle.
- et G. MASCLE (1962). L'Argovien d'Andelot-en-Montagne. *Colloque du Jurassique, Luxembourg*, pp. 307-325, Luxembourg.
- MANGOLD, C. (1970). Stratigraphie des étages Bathonien et Callovien du Jura méridional. *Doc. Lab. Geol. Fac. Sc. Lyon*, n° 41/1.
- S. ELMET et J. GABILLY (1967). Les faunes du Bathonien dans la moitié sud de la France. Essai de zonation et de corrélations. *Colloque du Jurassique, Luxembourg 1967* (prétirage).
- MARTIN, G. P. (1938). Mikrofauna des Ferrugineus-colith aus der Gegend von Basel. *Eclog. Geol. Helv.*, vol. 31/2, pp. 355-361, Bâle.
- MAYNC, W. (1966). Microbiostratigraphy of the Jurassic of Israël. *Geol. Survey of Israël Bull.*, n° 40, pp. 1-56, Jerusalem.
- MOHLER, W. (1938). Mikropaläontologische Untersuchung in der nordschweizerischen Juraformation. *Abh. Schweiz. Palaeont. Ges.*, vol. 60, pp. 1-53, Bâle.
- NORLING, E. (1968). On Liassic nodosariid Foraminifera and their wall structures. *Sverig. Geol. Undersök.*, C, n° 623, vol. 61, n° 8, pp. 1-75, Stockholm.
- NORVANG, A. (1957). Foraminifera of the Lias Series in Jutland, Denmark. *Med. Dansk. geol. Foren.*, vol. 13, n° 5. pp. 1-135. Copenhagen.
- OESTERLE, H. (1968). Foraminiferen der Typlokalität der Birkenstorfer-Schichten, Unterer Malm, (Teilrevision der Arbeiten von J. KÜBLER und H. ZWINGLI, 1866-1870, und von R. HAEUSLER 1881-1893). *Eclog. Geol. Helv.*, vol. 61, n° 2, pp. 695-792, Bâle.
- OHM, U. (1967). Zur Kenntnis der Gattungen *Reinholdella*, BROTZ., *Garantella* KAPT. und *Epistomina* TERQU. *Paleontographica A*, Bd. 127, Stuttgart.
- PAALZOW, R. (1917). Beiträge zur Kenntnis der Foraminiferenfauna der Schwamm mergel des Unterer Weissen Jura in Süd deutschland. *Abh. Naturh. Ges.*, vol. 19, pp. 203-248, Nürnberg.
- (1932). Die Foraminiferen aus den Transversarius-Schichten und Impressa-Tonen der nordöstlichen Schwäbischen Alb. *Jahresh. V. vaterl. Naturk. Württemberg*, vol. 88, pp. 81-142, Stuttgart.
- PAPP, A. et K. TURNOVSKY (1970). Anleitung zur biostratigraphischen Auswertung von Gesteins-schliffen (Mikrofacies Austriaca). *Jahrb. Geol. B.A.*, Sond. 16, Wien.
- PAYARD, J. W. (1947). La faune de Foraminifères du Lias supérieur du détroit Poitevin. *Thèse Fac. Sc. Paris*, 255 p., Poitiers (non vu).
- PAZDRO, O. (1969). Middle Jurassic *Epistominidae* (Foram) of Poland. *Studia Geol. Polonica*, vol. 27, pp. 1-92, Warszawa.
- PAZDROWA, O. (1960). Micropaleontological characteristic of Vesulian and Bathonian of polish Lowland (en polonais). *Kwart. Geol.*, vol. 4, n° 4, pp. 936-948, Warszawa.
- (1967). The Bathonian microfauna from the vicinity of Ogrodzieniec. *Inst. Geol. Biul.*, 211, pp. 146-159, Warszawa.
- PELLETIER, M. (1959). Contribution à l'étude stratigraphique de la première série calcaire du Jura méridional. *Trav. Lab. Geol. Lyon*, ns, n° 4, pp. 1-109, Lyon.
- PERCONIG, E. (1968). Microfacies of Triassic and Jurassic sediments of Spain. *Int. sedim. petrog. series*, vol. 10, Brill, Leiden.
- PIETRZENUK, E. (1961). Zur Mikrofauna einiger Liasvorkommen in der Deutschen Demokratischen Republik. *Freib. Forschungsh.*, C 113, pp. 1-129, Berlin.
- PRESTAT, B. ( ). Etude micropaléontologique du passage Bathonien-Callovien dans le centre SW du Bassin de Paris. *Colloque Jurassique, Luxembourg*, 1967 (prétirage).
- RABITZ, G. (1963). Foraminiferen des Gottinger Lias. *Paläont. Zeit.*, vol. 37, h. 3/4, pp. 198-224, Stuttgart.

- RAFFI, G. et F. FORTI (1959). Micropaleontological and stratigraphical investigations in " Montagna del Morrone " (Abruzzi-Italy). *Rev. Micropal.*, vol. 2, No. 2, pp. 8-20, Paris.
- RAT, P. (1966). Nubecularia reicheli nov. sp., Foraminifère constructeur de fausses oolithes dans le Bajocien de Bourgogne. *Ecl. Geol. Helv.* vol. 59/1, pp. 73-86, Bâle.
- REY, M. et G. NOUET (1958). Microfacies de la région préfaine et de la moyenne Moulouya (Maroc septent.). *Int. sed. petro. serie*, vol. 3, Brill, Leiden.
- RICHE, A. (1893). Etude stratigraphique sur le Jurassique inférieur du Jura méridional. *Ann. Univ. Lyon*, t. 6, f. 3, pp. 1-396, Lyon.
- SAID, R. et M. G. BARAKAT (1958). Jurassic microfossils from Gebel Maghara, Sinaï, Egypt. *Micro-paleontology*, vol. 4, pp. 231-272, New-York.
- SARTONI, S. et U. CRESCENTI (1962). Richerche biostratigrafiche nel Mesozoico dell'Appennino meridionale. *Giorn. Geol.*, ser. 2, vol. 29, Bologna.
- SCHMASSMANN, H. (1945). Stratigraphie des mittleres Doggers der Nordschweiz. *Lüdin AG.*, Liestal.
- SCHWAGER, C. (1865). Beitrag zur Kenntnis der mikroskopischen Fauna jurassischer Schichten. *Jh. Ver. vaterl. Naturkde. Württ.*, vol. 21, pp. 82-151, Stuttgart.
- SCHWEIGHAUSER, J. (1950). Spirillinen aus dem Lias von Arzo (Tessin) *Ecl. Geol. Helv.*, vol. 43/1, pp. 226/235. Bâle.
- SEIBOLD, E. et I. (1960). Foraminiferen der Bank — und Schwamm-Fazies im unteren Malm Süddeutschlands. — *Neues Jb. Geol. u. Paläont. Abh.*, vol. 109, n. 3, pp. 309-438, Stuttgart.
- et I. (1956). Revision der Foraminiferen-Bearbeitung's C. SCHWAGERS (1865) aus dem Impressa Schichten (Unterer Malm) Süddeutschlands. *Neues Jb. Geol. u. Paläont. Abh.*, vol. 103, n. 1/2, pp. 91-154, Stuttgart.
- et I. (1955). Revision der Foraminiferen-Bearbeitung C. W. GÜMBELS (1862) aus den Streitberger Schwamm-Mergeln (Oberfranken, Unterer Malm). *Neues Jb. Geol. u. Paläont. Abh.*, vol. 101, n° 1, pp. 91-134, Stuttgart.
- SELLIER DE CIVRIEUX, J. M. (1969). Tendencias evolutivas de las *Nodosariidae*. *Revista Espanola Micropal.*, vol. 1, n° 1, pp. 25-36, Madrid.
- et T. F. J. DESSAUVAGIE (1965). Reclassification de quelques *Nodosariidae*, particulièrement du Permien au Lias. *M.T.A.*, n° 124, pp. 1-178, Ankara.
- SEPTFONTAINE, M. (1971). Etude micropaléontologique et stratigraphique du Lias supérieur et du Dogger des Préalpes Médianes romandes (Suisse). *Thèse Université de Genève, texte condensé, Ed. Médecine et Hygiène, Genève*.
- STRÖBEL, W. (1943). Mikrofauna im weissen Jura alpha der mittleren und Südwestalb. *Neues Jb. Miner., Geol. u. Paläont. Abh.*, Abt. B, vol. 88, pp. 1-39, Stuttgart.
- TAPPAN, H. (1955). Foraminifera from the Arctic Slope of Alaska. Part II. Jurassic Foraminifera. *U.S. Geol. Surv. Profess. Paper*, n° 236/B, pp. 21-90, Washington.
- VALENSI, L. (1953). Microfossiles des silex du Jurassique moyen. *Mem. Soc. Geol. France*, ns, t. 32, fasc. 4, mém. n° 68, pp. 1-100, Paris.
- WEINSCHENK, R. (1956). Some rare Jurassic index Foraminifera. *Micropal.*, vol. 2, n° 3, pp. 283-286, New-York.
- WERNLI, R. (1970). *Archaeosepta platierensis* WERNLI, n.g., n.sp., un nouveau Foraminifère du Dogger du Jura méridional. *C.R. Séances SPHN Genève*, NS, vol. 5, fasc. 1, pp. 87-93, Genève.
- (1971) *Planiinvoluta carinata* LEISCHNER, 1961, (foraminifère) dans l'Aalénien supérieur du Jura méridional (France). *Arch. Sc. Genève*, vol. 24, fasc. 2, Genève.
- et M. SEPTFONTAINE (1971). Micropaléontologie comparée du Dogger du Jura méridional (France) et des Préalpes Médianes Plastiques romandes (Suisse). 1971, *Ecl. Geol. Helv.*, vol. 64/3, Bâle.
- ZANINETTI, L. et P. BRÖNNIMANN (1969). Sur la présence d'un Foraminifère nouveau « *Ophthalmidium tori* » dans le Carnien supérieur de la Vénétie. *Rev. Ital. Pal.*, vol. 75, n° 4, pp. 705-724, Milano.
- ZIEGLER, J. H. (1959). Mikropaleontologische untersuchungen zur Stratigraphie des Braun jura, Nordbayern. *Geol. Bavaria*, 40, pp. 9-128, Munich.
- ZOBEL, B. (1966). Untersuchungen an den Wand und Mundungstrukturen von *Lenticulina Lamarck*. *N. Jb. Geol. Pal. Abh.*, vol. 125, pp. 80-95, Stuttgart.
1964. Colloque du Jurassique, Luxembourg, 1962, *Imp. St-Paul*, Luxembourg.

## PLANCHE I

Toutes les fig., env. 65 ×

- FIG. 1. — *Proteonina diffugiformis* (BRADY), W200, Poncieux, Aalénien inférieur.  
 FIG. 2. — *Proteonina diffugiformis* (BRADY), W200, Poncieux, Aalénien inférieur.  
 FIG. 3. — *Proteonina diffugiformis* (Brady), W200, Poncieux, Aalénien inférieur.  
 FIG. 4. — *Ammobaculites irregularis* (GÜMBEL), W691, Enfer, Callovien inférieur.  
 FIG. 5. — *Ammobaculites irregularis* (GÜMBEL), macrosphère, section spirale, so. 106, W524, Arcets, Oxfordien moyen.  
 FIG. 6. — *Ammobaculites irregularis* (GÜMBEL), microsphère, section spirale,  
   a) test complet, b) stade juvénile grossi, so. 108, W604, Arcets, Oxfordien moyen.  
 FIG. 7. — *Ammobaculites irregularis* (GÜMBEL), W691, Enfer, Callovien inférieur.  
 FIG. 8. — *Flabellammina althoffi* BARTENSTEIN, section spirale, so. 69, W439, Apremont, Bathonien supérieur.  
 FIG. 9. — *Verneuilinoides mauritii* (TERQUEM), W193, Meyriat, Bathonien supérieur.  
 FIG. 10. — *Verneuilinoides mauritii* (TERQUEM), W192, Meyriat, Bathonien supérieur.  
 FIG. 11. — *Verneuilinoides mauritii* (TERQUEM),  
   b) vue latérale, a) vue oblique du stade juvénile immergé, grossi, W192, Meyriat, Bathonien supérieur.  
 FIG. 12. — *Ammobaculites* sp. A, section spirale, so. 109, W554, Arvière, Oxfordien inférieur.  
 FIG. 13. — *Textularia agglutinans* d'ORBIGNY, a) vue orale, b) vue latérale, W691, Enfer.  
 FIG. 14. — *Textularia agglutinans* d'ORBIGNY, W498, Piards, Bathonien inférieur ?  
 FIG. 15. — *Textularia agglutinans* d'ORBIGNY, W604, Arcets, Oxfordien moyen.  
 FIG. 16. — *Ammobaculites coprolithiformis* SCHWAGER, section spirale, so. 111, Poncieux, Bathonien supérieur.  
 FIG. 17. — *Ammopalmula infrajurensis* (TERQUEM), section spirale, so. 110, W554, Arvière, Oxfordien inférieur.

## PLANCHE II

Toutes les fig., env. 33 ×

- FIG. 1. — *Flabellammina althoffi* BARTENSTEIN, W439, Apremont, Bathonien supérieur.  
 FIG. 2. — *Flabellammina althoffi* BARTENSTEIN, W781, Sélignac, Bathonien.  
 FIG. 3. — *Flabellammina althoffi* BARTENSTEIN, W781, Sélignac, Bathonien.  
 FIG. 4. — *Flabellammina althoffi* BARTENSTEIN, W781, Sélignac, Bathonien.  
 FIG. 5. — *Ammobaculites* sp. A, a) vue latérale, b) vue ventrale, W554, Arvière, Oxfordien inférieur.  
 FIG. 6. — *Ammobaculites coprolithiformis* (SCHWAGER), W781, Sélignac, Bathonien.  
 FIG. 7. — *Ammobaculites coprolithiformis* (SCHWAGER), W238, Poncieux, Bathonien supérieur.  
 FIG. 8. — *Ammobaculites coprolithiformis* (SCHWAGER), W238, Poncieux, Bathonien supérieur.  
 FIG. 9. — *Ammobaculites* sp. A, a) vue latérale, b) vue ventrale, W554, Arvière, Oxfordien inférieur.  
 FIG. 10. — *Ammopalmula infrajurensis*, (TERQUEM), W554, Arvière, Oxfordien inférieur.

FIG. 11. — *Epistomina mosquensis* UHLIG,  
a) vue ombilicale, b) vue latérale, c) vue spirale, W554,  
Arvière, Oxfordien inférieur.

FIG. 12. — *Reinholdella* sp., moule interne pyriteux,  
a) vue ombilicale, b) vue latérale, W158, Enfer, Aalénien supérieur.

FIG. 13. — *Citharina colliezi* (TERQUEM), W696, Enfer, Aalénien supérieur.

FIG. 14. — *Citharina colliezi* (TERQUEM), W518, Chalam, Aalénien inférieur.

FIG. 15. — *Citharina colliezi* (TERQUEM), W518, Chalam, Aalénien inférieur ?

FIG. 16. — *Citharina colliezi* (TERQUEM), W246, Chalam, Pliensbachien Toarcien ?

FIG. 17. — *Citharina colliezi* (TERQUEM), microosphère, W706, Enfer, Bajocien inférieur.

FIG. 18. — *Citharina colliezi* (TERQUEM), macrosphère,  
a) vue latérale, b) vue dorsale, W706,  
Enfer, Bajocien inférieur.

FIG. 19. — *Triplasia bartensteini* LOEBLICH et TAPPAN,  
a) vue orale, b) vue latérale, W496,  
Piards, Bathonien inférieur ?

FIG. 20. — *Citharina heteropleura* (TERQUEM), W281, Culoz, Aalénien supérieur.

FIG. 21. — *Citharina heteropleura* (TERQUEM), W129, Moulin Dernier, Bajocien supérieur.

FIG. 22. — *Epistomina* sp., moule interne pyriteux,  
a) vue spirale, b) vue ombilicale, W350, Valfin, Callovien.

FIG. 23. — *Citharina* « *colliezi-heteropleura* », forme de transition, W696,  
Enfer, Aalénien supérieur.

FIG. 24. — *Citharina* « *colliezi-heteropleura* », forme de transition, W246,  
Chalam, Pliensbachien-Toarcien ?

FIG. 25. — *Citharina* « *colliezi-heteropleura* », forme de transition, W696,  
Enfer, Aalénien supérieur.

FIG. 26. — *Citharina* « *colliezi-heteropleura* », forme de transition, W696,  
Enfer, Aalénien supérieur.

FIG. 27. — *Citharina heteropleura* (TERQUEM), W127, Moulin Dernier, Bajocien supérieur.

FIG. 28. — *Citharina heteropleura* (TERQUEM), W132, Moulin Dernier, Bajocien supérieur.

FIG. 29. — *Citharina heteropleura* (TERQUEM), W781, Sélignac, Bathonien.

### PLANCHE III

Toutes les fig., env. 65 ×

FIG. 1. — *Citharina colliezi* (TERQUEM), microosphère,  
a) vue latérale, b) profil, c) vue par transparence, W157,  
Enfer, Aalénien supérieur.

FIG. 2. — *Citharina colliezi* (TERQUEM), macrosphère,  
a) vue latérale, b) profil, c) vue par transparence, W157,  
Enfer, Aalénien supérieur.

FIG. 3. — *Palmula tenuistriata* (FRANKE), W246, Chalam, Pliensbachien-Toarcien ?

FIG. 4. — *Lenticulina dorbignyi* (ROEMER), W158, Enfer, Aalénien supérieur.

FIG. 5. — *Planularia pseudocrepidula* ADAMS, W423, Enfer, Bathonien inférieur ?

FIG. 6. — *Planularia pseudocrepidula* ADAMS, W423, Enfer, Bathonein inférieur ?

FIG. 7. — *Planularia pseudocrepidula* ADAMS, W423, Enfer, Bathonien inférieur ?

FIG. 8. — *Planularia pseudocrepidula* ADAMS, W158, Enfer, Aalénien supérieur.

FIG. 9. — *Lenticulina dorbignyi* (ROEMER), W158, Enfer, Aalénien supérieur.

FIG. 10. — *Planularia pseudocrepidula* ADAMS, forma A, W162, Enfer, Aalénien supérieur.

FIG. 11. — *Planularia pseudocrepidula* ADAMS, forma A, vue par transparence, W171, Enfer, Bajocien inférieur.

FIG. 12. — *Vaginulina « clathrata-serracostata »*, forme juvénile,  
a) vue latérale, b) profil, c) vue par transparence, W129,  
Moulin Dernier, Bajocien supérieur.

FIG. 13. — *Epistomina parastelligera* (HOFKER), test rempli de pyrite, paroi partiellement érodée,  
a) vue spirale, b) vue latérale-orale, c) vue ombilicale, W524,  
Arcets, Oxfordien moyen.

FIG. 14. — *Epistomina parastelligera* (HOFKER),  
a) vue spirale, b) vue ombilicale, c) vue latérale, W524,  
Arcets, Oxfordien moyen.

FIG. 15. — *Vaginulina « clathrata-serracostata »*, forme juvénile,  
a) vue latérale, b) vue ventrale, c) vue par transparence, W129,  
Moulin Dernier, Bajocien supérieur.

FIG. 16. — *Epistomina parastelligera* (HOFKER), section spirale, so. 81, W524,  
Arcets, Oxfordien moyen.

FIG. 17. — *Epistomina parastelligera* (HOFKER), section axiale décentrée, so. 79,  
Arcets, Oxfordien moyen.

#### PLANCHE IV

Toutes les fig., env. 33 ×

FIG. 1. — *Vaginulina macilenta* (TERQUEM), vue par transparence, W523,  
Arcets, Oxfordien moyen.

FIG. 2. — *Vaginulina macilenta* (TERQUEM), W523, Arcets, Oxfordien moyen.

FIG. 3. — *Vaginulina clathrata* (TERQUEM),  
a) vue latérale, b) vue ventrale, c) stade juvénile vu par transparence, W547,  
Lavanche, Bathonien supérieur ?

FIG. 4. — *Vaginulina clathrata* (TERQUEM), a) vue latérale, b) vue dorsale, W458,  
Virieu, Bathonien moyen.

FIG. 5. — *Vaginulina clathrata* (TERQUEM),  
a) vue latérale, b) profil, c) vue par transparence, d) section transverse, W458,  
Virieu, Bathonien moyen.

FIG. 6. — *Vaginulina macilenta* (TERQUEM), W523, Arcets, Oxfordien moyen.

FIG. 7. — *Vaginulina serracostata* (GÜMBEL),  
a) vue latérale, b) vue par transparence, W470,  
Bénonce, Bathonien inférieur.

FIG. 8. — *Vaginulina serracostata* (GÜMBEL), W265, Chalam, Bajocien.

FIG. 9. — *Falsopalmula deslongchampsi* (TERQUEM), W158,  
Enfer, Aalénien supérieur.

FIG. 10. — *Planularia ornata* (TERQUEM),  
a) vue latérale, b) vue dorsale, c) section transverse, d) vue par transparence, réduite, W246,  
Chalam, Pliensbachien-Toarcien ?

FIG. 11. — *Vaginulina serracostata* (GÜMBEL),  
a) vue latérale, b) stade juvénile vu par transparence, W458,  
Virieu, Bathonien moyen.

FIG. 12. — *Planularia eugenii* (TERQUEM),  
a) vue latérale, b) profil, c) vue par transparence, W150,  
Moulin Dernier, Bajocien supérieur.

FIG. 13. — *Falsopalmula deslongchampsi* (TERQUEM), W158,  
Enfer, Aalénien supérieur.

FIG. 14. — *Lenticulina quenstedti* (GÜMBEL), forma C,  
a) vue latérale, b) vue orale, W423,  
Enfer, Bathonien inférieur.

FIG. 15. — *Nodosaria regularis* TERQUEM, loge brisée, W200,  
Poncieux, Aalénien inférieur.

FIG. 16. — *Nodosaria regularis* TERQUEM, loge brisée, W200,  
Poncieux, Aalénien inférieur.

FIG. 17. — *Nodosaria regularis* TERQUEM, loge isolée, W162,  
Enfer, Aalénien supérieur.

FIG. 18. — *Nodosaria regularis* TERQUEM, test incomplet, W200,  
Poncieux, Aalénien inférieur.

FIG. 19. — *Planularia eugenii* (TERQUEM),  
a) vue latérale, b) profil, c) vue par transparence, W696,  
Enfer, Aalénien supérieur.

FIG. 20. — *Planularia eugenii* (TERQUEM), W162, Enfer, Aalénien supérieur.

FIG. 21. — *Lenticulina quenstedti* (GÜMBEL), forma B, a) vue latérale, b) vue ventrale, W150,  
Moulin Dernier, Bajocien supérieur.

FIG. 22. — *Lenticulina daphne* BIEL. et STYCK,  
a) vue latérale, b) vue ventrale, W127, Moulin Dernier, Bajocien supérieur.

FIG. 23. — *Lenticulina quenstedti* (GÜMBEL) forma A,  
a) vue latérale, b) vue ventrale, W147, Moulin Dernier, Bajocien supérieur

FIG. 24. — *Lenticulina subalata* (REUSS), a) vue latérale, b) vue ventrale, W246,  
Chalam, Pliensbachien-Toarcien ?

FIG. 25. — *Lenticulina quenstedti* (GÜMBEL), forma C,  
a) vue latérale, b) vue ventrale, c) vue dorsale, W423,  
Enfer, Bathonien inférieur.

FIG. 26. — *Lenticulina daphne* BIEL. et STYCK, a) et b) vues latérales, c) vue ventrale,  
W162, Enfer, Aalénien supérieur.

FIG. 27. — *Lenticulina quenstedti* (GÜMBEL) forma A,  
a) vue latérale, b) vue ventrale, W66, Enfer, Callovien inférieur.

FIG. 28. — *Lenticulina quenstedti* (GÜMBEL), forma B,  
a) vue latérale, b) vue dorsale, c) vue ventrale, W158,  
Enfer, Aalénien supérieur, zone à G. concavum.

FIG. 29. — *Lenticulina münterii* (ROEMER), a) vue latérale, b) vue ventrale, W423,  
Enfer, Bathonien inférieur.

## PLANCHE V

Toutes les fig., env. 65 ×

FIG. 1. — *Lenticulina tricarinella* (REUSS), forma C,  
a) vue latérale, b) vue dorsale, c) vue ventrale, d) vue orale, W423,  
Enfer, Bathonien inférieur ?

FIG. 2. — *Lenticulina tricarinella* (REUSS), forma C,  
a) vue latérale, b) vue dorsale, W423, Enfer, Bathonien inférieur ?

FIG. 3. — *Lenticulina tricarinella* (REUSS), forma C,  
a) vue latérale, b) vue dorsale, W423, Enfer, Bathonien inférieur ?

FIG. 4. — *Lenticulina tricarinella* (REUSS), forma B,  
a) vue latérale, b) vue ventrale, W147, Moulin Dernier, Bajocien supérieur

FIG. 5. — *Lenticulina tricarinella* (REUSS), forma B,  
a) vue latérale, b) vue orale, W150, Moulin Dernier, Bajocien supérieur.

FIG. 6. — *Lenticulina argonauta* KOPIK, vue latérale, W271, Lucey, Bajocien supérieur

FIG. 7. — *Lenticulina argonauta* KOPIK,  
a) vue latérale, b) vue dorsale, c) vue ventrale, W66,  
Enfer, Callovien inférieur.

FIG. 8. — *Lenticulina tricarinella* (REUSS), forma A,  
a) vue latérale, b) vue dorsale, W196, Meyriat, Bathonien supérieur.

FIG. 9. — *Marginulina glabra* D'ORBIGNY, a) vue latérale, b) vue ventrale, W423,  
Enfer, Bathonien inférieur ?

FIG. 10. — *Marginulina glabra* D'ORBIGNY, a) vue latérale, b) vue ventrale, W423,  
Enfer, Bathonien inférieur ?

FIG. 11. — *Lenticulina tricarinella* (REUSS), forma A,  
a) vue latérale, b) vue orale, W66, Enfer, Callovien inférieur.

FIG. 12. — *Lenticulina tricarinella* (REUSS), forma D,  
a) vue latérale, b) vue dorsale, c) vue orale, W126, Moulin Dernier, Bajocien supérieur.

FIG. 13. — *Lingulina pupa* (TERQUEM), W168, Enfer, Aalénien supérieur.

FIG. 14. — *Lingulina pupa* (TERQUEM), W168, Enfer, Aalénien supérieur.

FIG. 15. — *Lingulina pupa* (TERQUEM), W246, Chalam, Pliensbachien-Toarcien ?

FIG. 16. — *Lingulina pupa* (TERQUEM), W127, Moulin Dernier, Bajocien supérieur.

FIG. 17. — *Lenticulina ectypa costata* CORDEY,  
a) vue latérale, b) vue ventrale, c) vue orale, W523, Arcets, Oxfordien moyen.

FIG. 18. — *Lenticulina ectypa costata* CORDEY,  
a) vue latérale, b) vue dorsale, c) vue ventrale, W524,  
Arcets, Oxfordien moyen.

## PLANCHE VI

Fig. 1 à 16, 33 ×

Fig. 17 à 24, env. 85 ×

FIG. 1. — *Lingulina nodosaria* (TERQUEM), W243, Moulin Dernier, Bajocien supérieur.

FIG. 2. — *Lingulina nodosaria* (TERQUEM), W496, Piards, Bathonien inférieur ?

FIG. 3. — *Lingulina nodosaria* (TERQUEM), W271, Lucey, Bajocien supérieur.

FIG. 4. — *Lingulina nodosaria* (TERQUEM), W423, Enfer, Bathonien inférieur.

FIG. 5. — *Lingulina nodosaria* (TERQUEM), W496, Piards, Bathonien inférieur ?

FIG. 6. — *Lingulina nodosaria* (TERQUEM), W518, Chalam, Aalénien inférieur ?

FIG. 7. — *Lingulina nodosaria* (TERQUEM), W423, Enfer, Bathonien inférieur ?

FIG. 8. — *Lingulina nodosaria* (TERQUEM), W684, Enfer, Bathonien inférieur ?

FIG. 9. — *Frondicularia lignaria* TERQUEM, W12, Queue de Cheval, Bajocien supérieur.

FIG. 10. — *Frondicularia lignaria* TERQUEM, W127, Moulin Dernier, Bajocien supérieur.

FIG. 11. — *Frondicularia lignaria* TERQUEM, W158, Enfer, Aalénien supérieur.

FIG. 12. — *Lingulina dentaliniformis* TERQUEM, macrosphère, W158,  
Enfer, Aalénien supérieur.

FIG. 13. — *Lingulina dentaliniformis* TERQUEM, macrosphère, W518,  
Chalam, Aalénien inférieur ?

FIG. 14. — *Lingulina dentaliniformis* TERQUEM, microsphère, W518,  
Chalam, Aalénien inférieur ?

FIG. 15. — *Lingulina dentaliniformis* TERQUEM, forma A, W158,  
Enfer, Aalénien supérieur.

FIG. 16. — *Lingulina dentaliniformis* TERQUEM, forma A, W158,  
Enfer, Aalénien supérieur.

FIG. 17. — *Bolivina liasica* (TERQUEM), a) vue frontale, b) vue orale, W423,  
Enfer, Bathonien inférieur.

FIG. 18. — *Discorbis scutuliformis* (SEIBOLD),  
a) vue ombilicale, b) vue latérale, c) vue spirale, W488,  
Piards, Bathonien inférieur.

FIG. 19. — *Bolivina liasica* (TERQUEM), a) vue frontale, b) vue orale, W423,  
Enfer, Bathonien inférieur.

FIG. 20. — *Bolivina liasica* (TERQUEM), a) vue frontale, b) vue latérale, c) vue orale, W423,  
Enfer, Bathonien inférieur.

FIG. 21. — *Discorbis scutuliformis* (SEIBOLD), a) vue ombilicale, b) vue spirale, W684,  
Enfer, Bathonien inférieur.

FIG. 22. — *Discorbis scutuliformis* (SEIBOLD), a) vue spirale, b) vue latérale, W193,  
Meyriat, Bathonien supérieur.

FIG. 23. — *Bolivina liasica* (TERQUEM), a) vue frontale, b) vue latérale, W488,  
Piards, Bathonien inférieur ?

FIG. 24. — *Discorbis scutuliformis* (SEIBOLD), vu par transparence, W685,  
Enfer, Bathonien inférieur.

## PLANCHE VII

Toutes les fig., env. 85 ×

FIG. 1. — *Discorbis paraspis* (SCHWAGER),  
a) vue par transparence, b) profil, c) vue ombilicale, W489,  
Piards, Bathonien inférieur.

FIG. 2. — *Discorbis paraspis* (SCHWAGER),  
a) vue spirale, b) vue latérale, c) vue ombilicale, W423,  
Enfer, Bathonien inférieur.

FIG. 3. — *Discorbis paraspis* (SCHWAGER), a) vue spirale, b) vue ombilicale, W512,  
Chalam, Bathonien.

FIG. 4. — *Discorbis paraspis* (SCHWAGER), a) vue ombilicale, b) vue latérale, W609,  
Arcets, Bathonien.

FIG. 5. — *Discorbis paraspis* (SCHWAGER), vue par transparence, W496,  
Piards, Bathonien inférieur.

FIG. 6. — *Discorbis paraspis* (SCHWAGER), vue par transparence, W437,  
Apremont, Bathonien supérieur.

FIG. 7. — *Discorbis paraspis* (SCHWAGER), vue par transparence, W609,  
Arcets, Bathonien.

FIG. 8. — *Discorbis paraspis* (SCHWAGER), vue par transparence, W549,  
Lavanche, Bathonien supérieur ?

FIG. 9. — *Discorbis paraspis* (SCHWAGER), a) vue spirale, b) vue latérale, W193,  
Meyriat, Bathonien supérieur.

FIG. 10. — *Discorbis paraspis* (SCHWAGER),  
a) vue spirale, b) vue ombilicale, c) vue latérale, W423,  
Enfer, Bathonien inférieur,

FIG. 11. — *Discorbis scutuliformis* (SEIBOLD), vue par transparence, W193,  
Meyriat, Bathonien supérieur.

FIG. 12. — *Discorbis scutuliformis* (SEIBOLD),  
a) section transverse, b) vue par transparence, W192,  
Meyriat, Bathonien supérieur.

FIG. 13. — *Discorbis* sp. A,  
a) vue spirale, b) vue par transparence, c) section transverse, W59,  
Queue de Cheval, Bajocien supérieur.

FIG. 14. — *Discorbis* sp. A,  
a) vue spirale, b) section transverse, c) vue ombilicale, W193,  
Meyriat, Bathonien supérieur.

FIG. 15. — *Discorbis* sp. B,  
a) vue spirale, b) vue ombilicale, c) vue par transparence, d) vue latérale, W423,  
Enfer, Bathonien inférieur.

FIG. 16. — *Discorbis* sp. A,  
a) vue ombilicale, b) vue par transparence, c) section transverse, W192,  
Meyriat, Bathonien supérieur.

FIG. 17. — *Discorbis* sp. B, a) vue spirale, b) vue latérale, c) vue par transparence,  
A-A) section transverse tangentielle schématique montrant la forme des sutures sur la  
face spirale, W139, Moulin Dernier, Bajocien supérieur.

FIG. 18. — *Discorbis* sp. A, a) vue ombilicale, b) vue spirale, W126,  
Moulin Dernier, Bajocien supérieur.

FIG. 19. — *Discorbis* sp. B, a) vue ombilicale, b) profil, c) vue par transparence, W496,  
Piards, Bathonien inférieur.

FIG. 20. — *Discorbis* sp. A, a) vue par transparence, b) vue ombilicale, W607,  
Arcets, Bathonien.

### PLANCHE VIII

Grossissement indiqué pour chaque figure.

FIG. 1. — *Saracenaria cornucopiae* (SCHWAGER),  
a) vue latérale, b) vue ventrale, c) vue orale, 33 x, W243,  
Moulin Dernier, Bajocien supérieur.

FIG. 2. — *Saracenaria cornucopiae* (SCHWAGER),  
a) vue latérale, b) vue ventrale, c) vue orale, 33 x, W238,  
Poncieux, Bathonien supérieur.

FIG. 3. — *Bolivina liasica* (TERQUEM), section subaxiale, so. 71, 140 x, W439,  
Piards, Bathonien inférieur ?

FIG. 4. — *Trochammina globigeriniformis* (PARKER et JONES),  
section oblique, so. 115, 200 x, W604, Arcets, Oxfordien moyen.

FIG. 5. — « *Paalzowella* » sp. A, a) vue ombilicale, b) vue latérale, 110 x, W511,  
Chalam, Bajocien supérieur.

FIG. 6. — « *Paalzowella* » sp. A, section axiale, so. 43, 110 x, W243,  
Moulin Dernier, Bajocien supérieur.

FIG. 7. — « *Paalzowella* » sp. A, section oblique, so. 44, 110 x, W243,  
Moulin Dernier, Bajocien supérieur.

FIG. 8. — « *Paalzowella* » sp. A, section axiale, so. 40, 110 x, W243,  
Moulin Dernier, Bajocien supérieur.

FIG. 9. — *Trochammina globigeriniformis* (PARKER et JONES), même individu que fig. 4,  
a) vue spirale, b) vue latérale, c) vue ombilicale, 85 x, W604,  
Arcets, Oxfordien inférieur.

FIG. 10. — « *Paalzowella* » sp. A, vue ombilicale, 110 x, W511,  
Chalam, Bajocien supérieur ?

FIG. 11. — « *Paalzowella* » sp. A, vue ombilicale, 110 x, W511,  
Chalam, Bajocien supérieur.

FIG. 12. — « *Spirillina* » sp. A, 66 x, W82, Crétet, Bathonien inférieur.

FIG. 13. — « *Paalzowella* » sp. A, le sommet du cône est cassé, a) vue latérale,  
b) vue spirale, la partie cassée montre les loges du stade juvénile, 110 x, W243,  
Moulin Dernier, Bajocien supérieur.

FIG. 14. — «*Spirillina*» sp. A, stade juvénile vu par transparence, 660 x, W423, Enfer, Bathonien inférieur ?

FIG. 15. — «*Spirillina*» sp. A, stade juvénile vu par transparence, 660 x, W423, Enfer, Bathonien inférieur ?

FIG. 16. — «*Spirillina*» sp. A, stade juvénile vu par transparence 660 x, W439, Apremont, Bathonien supérieur.

FIG. 17. — *Lingulina ovalis* TERQUEM et BERTHELIN, 66 x, W158, Enfer, Aalénien supérieur.

FIG. 18. — «*Spirillina*» *elongata* (BIEL. et POZ.), vue par transparence, 150 x, W438, Apremont, Bathonien supérieur.

FIG. 19. — «*Spirillina*» *elongata* (BIEL. et POZ.), vue par transparence, 150 x, W423, Enfer, Bathonien inférieur.

FIG. 20. — «*Spirillina*» *elongata* (BIEL. et POZ.), vue par transparence, 150 x, W423, Enfer, Bathonien inférieur.

FIG. 21. — *Planispirillina punctulata* (TERQUEM),  
a) face non ornementée, b) face ornementée, c) vue latérale, W150,  
Moulin Dernier, Bajocien supérieur.

## PLANCHE IX

Distribution stratigraphique des foraminifères du Dogger du Jura méridional.

La pseudocoupe biostratigraphique du Callovien moyen-supérieur est due, en partie, à une lacune d'échantillonage (voir chapitre Stratigraphie).

FIG. 1. — Nodosariacea en forme dégagée.

FIG. 2. — Foraminifères à paroi agglutinée, en forme dégagée.

## PLANCHE X

### Photomicrographies

FIG. 1. — *Lenticulina quenstedti* (GÜMBEL) forma A, vue latérale oblique, W150, Moulin Dernier, Bajocien supérieur. Stereoscan, E.M.P.A., Dübendorf.

FIG. 2. — *Lenticulina dorbignyi* (ROEMER), vue latérale, W201, Poncieux, Aalénien supérieur, Stereoscan Institut Batelle, Genève.

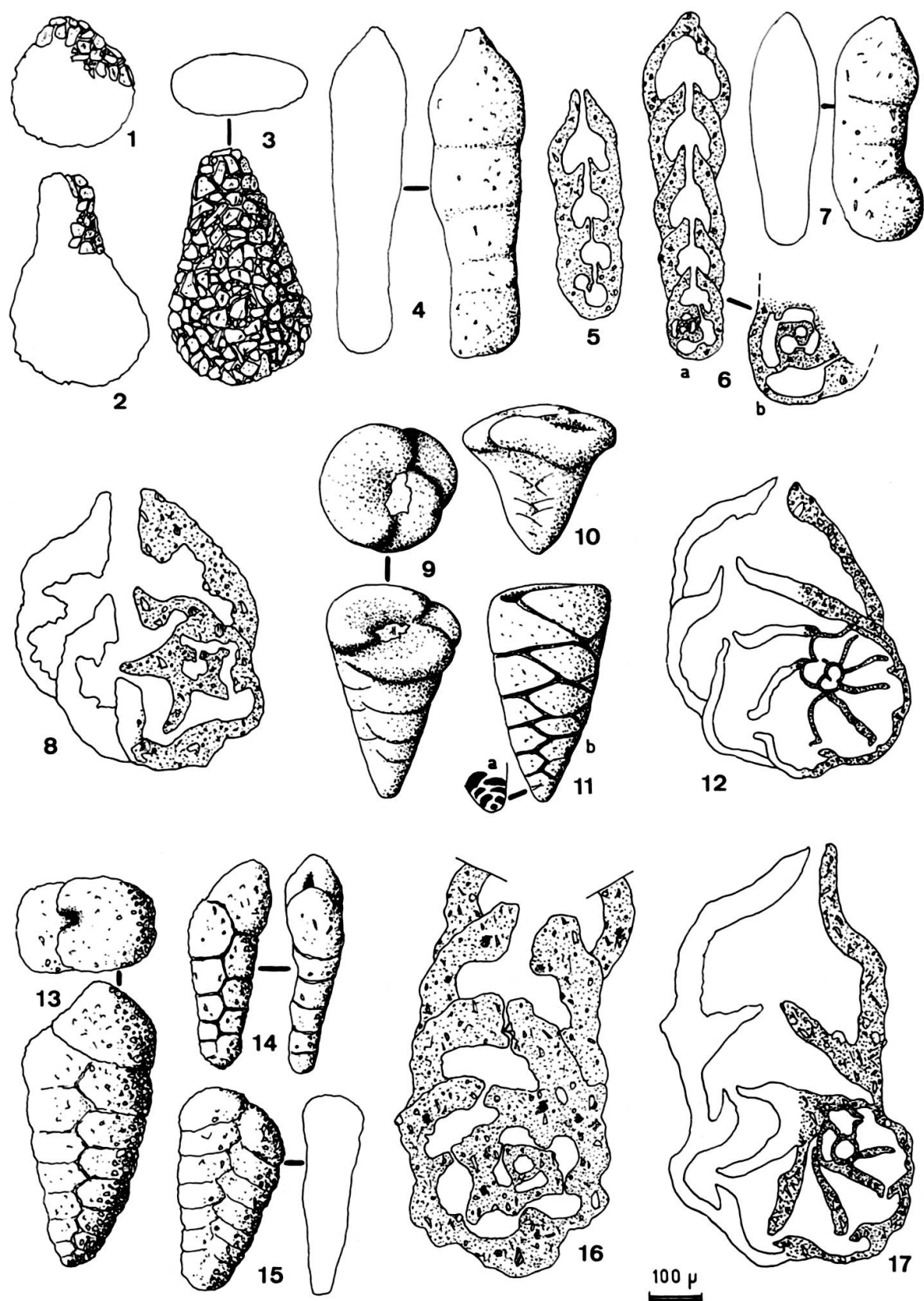
FIG. 3. — *Lenticulina tricarinella* (REUSS) forma A, vue latérale, W458, Virieu, Bathonien moyen, Stereoscan, Institut Batelle, Genève.

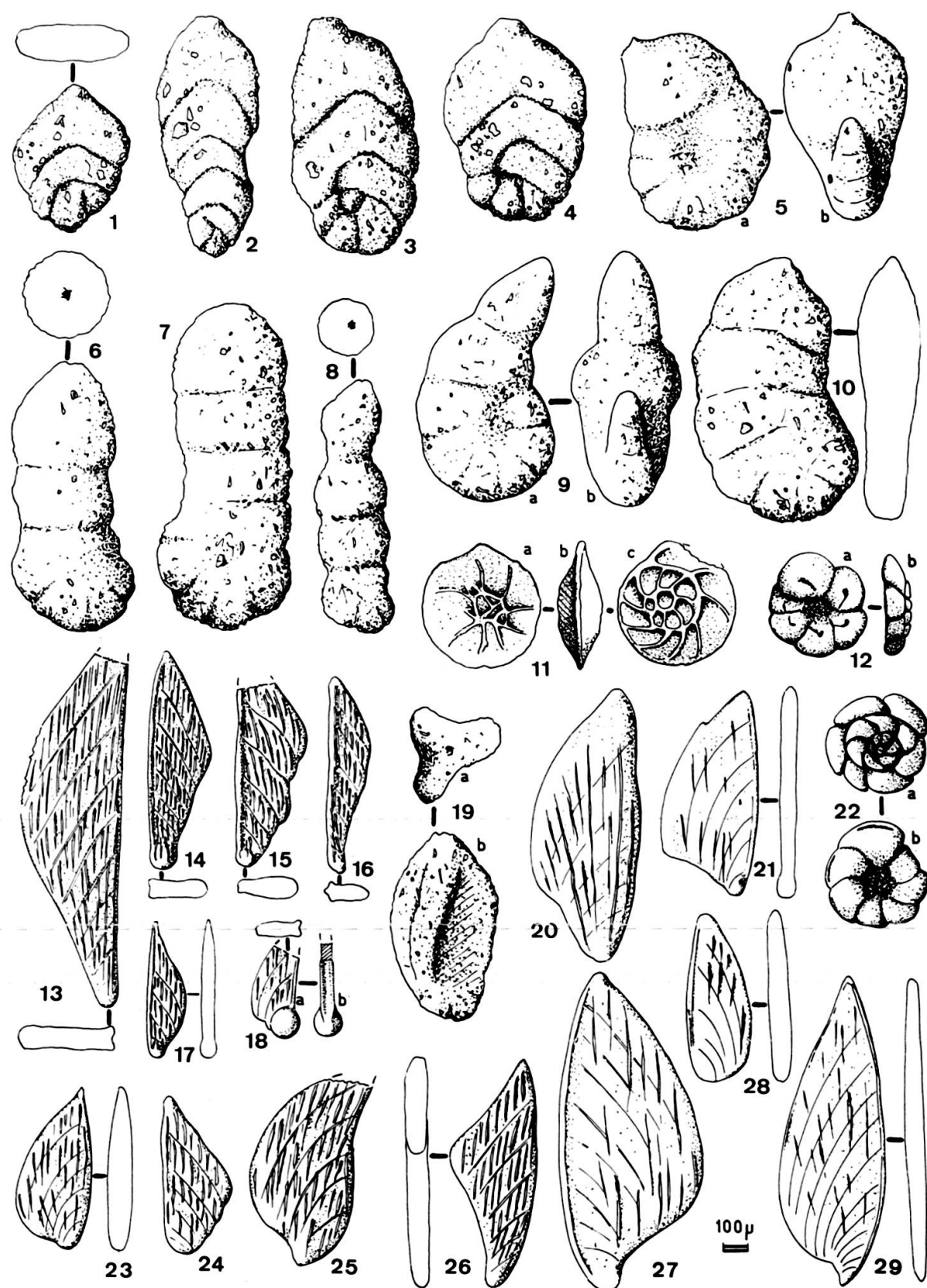
FIG. 4. — «*Acervulinidae*» sp., W332, calcaire biodétritique, Valfin s/Valouse, Bajocien supérieur.

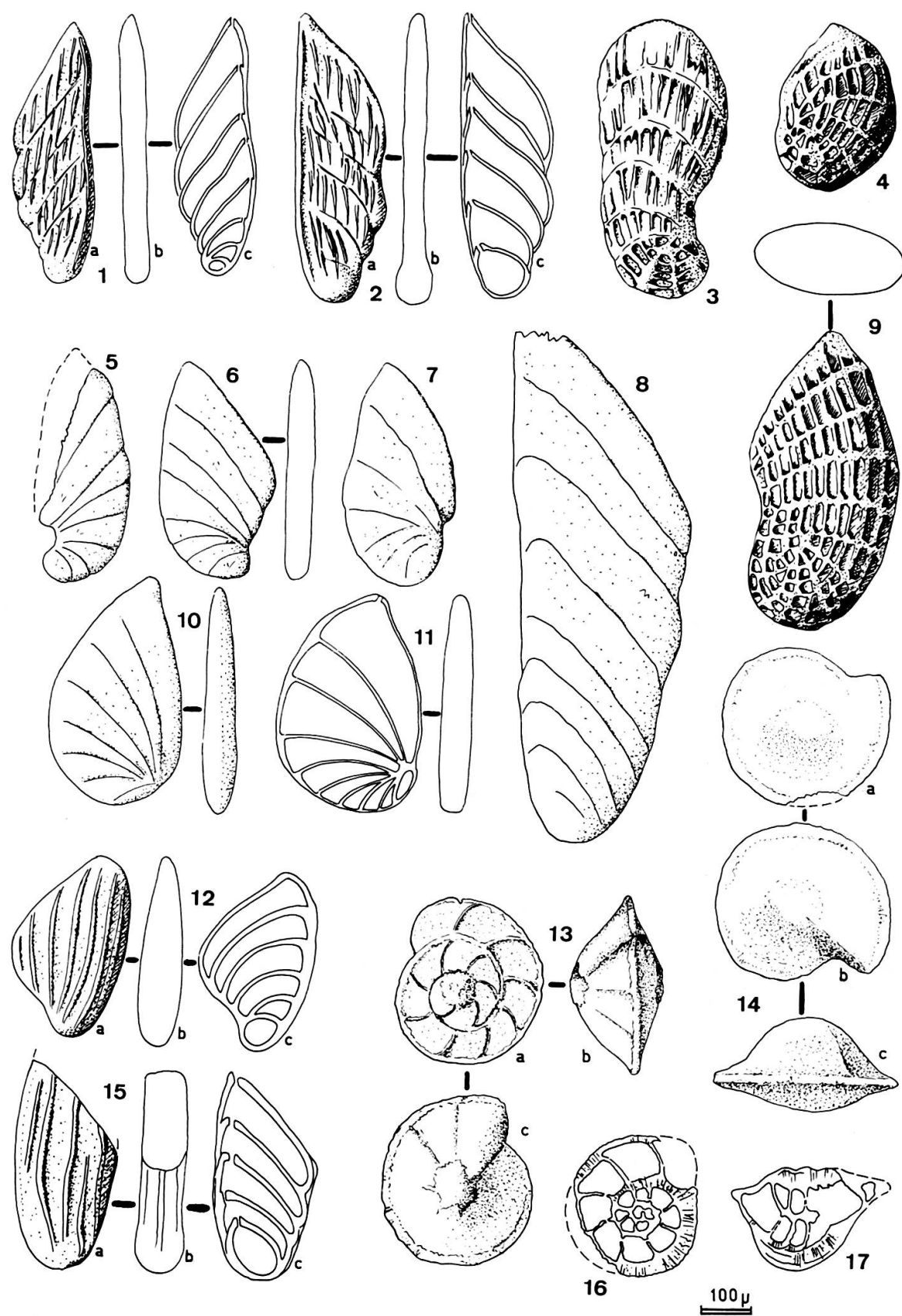
FIG. 5. — «*Acervulinidae*» sp., W520, calcaire biodétritique, Les Arcets, Bathonien.

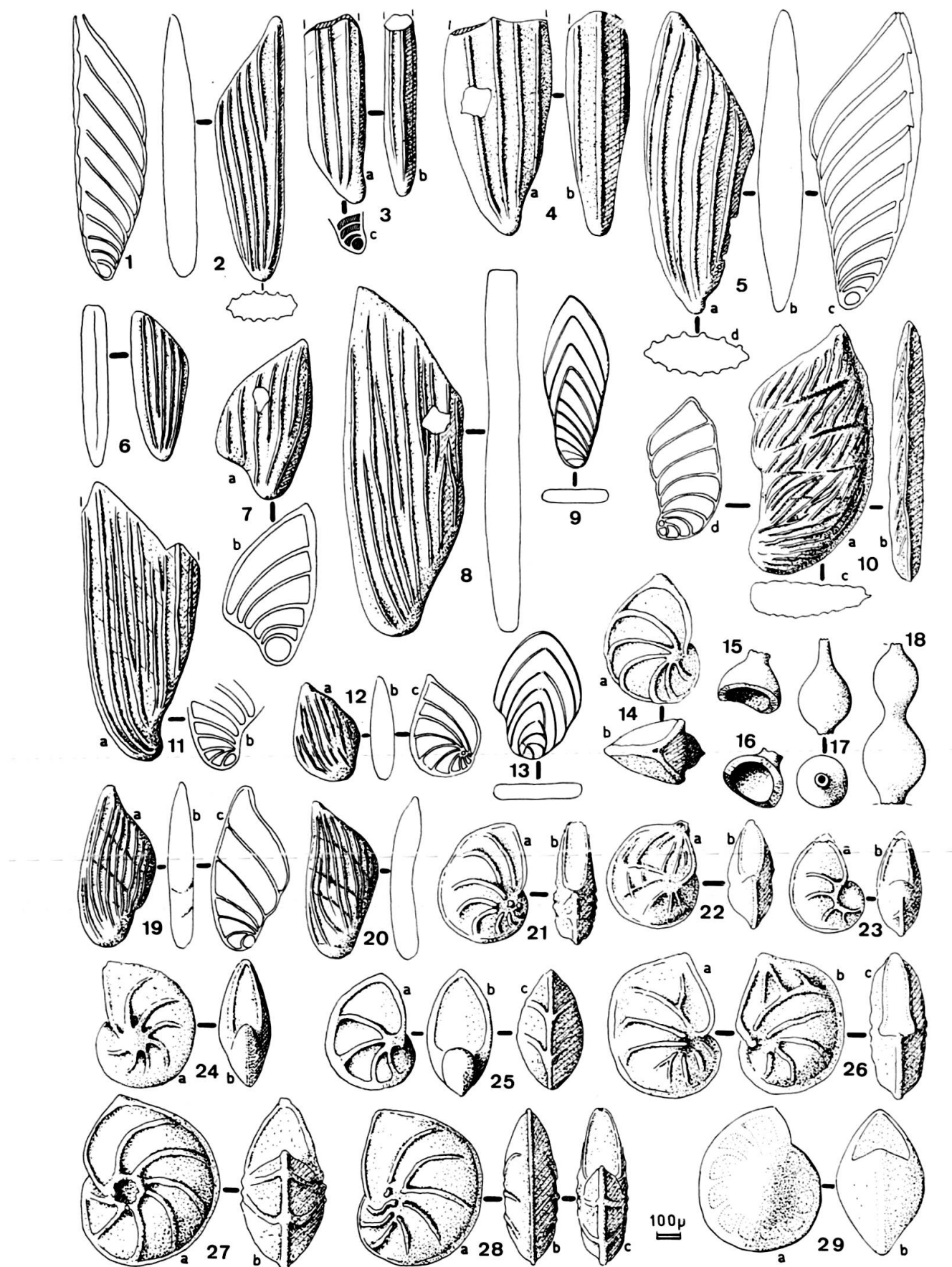
FIG. 6. — Faune à foraminifères porcelanés, sections transverses d'*Ophthalmidium involutes*, W517, «calcaires gréso-micacés à *Cancellophycus*», Chalam, Aalénien supérieur.

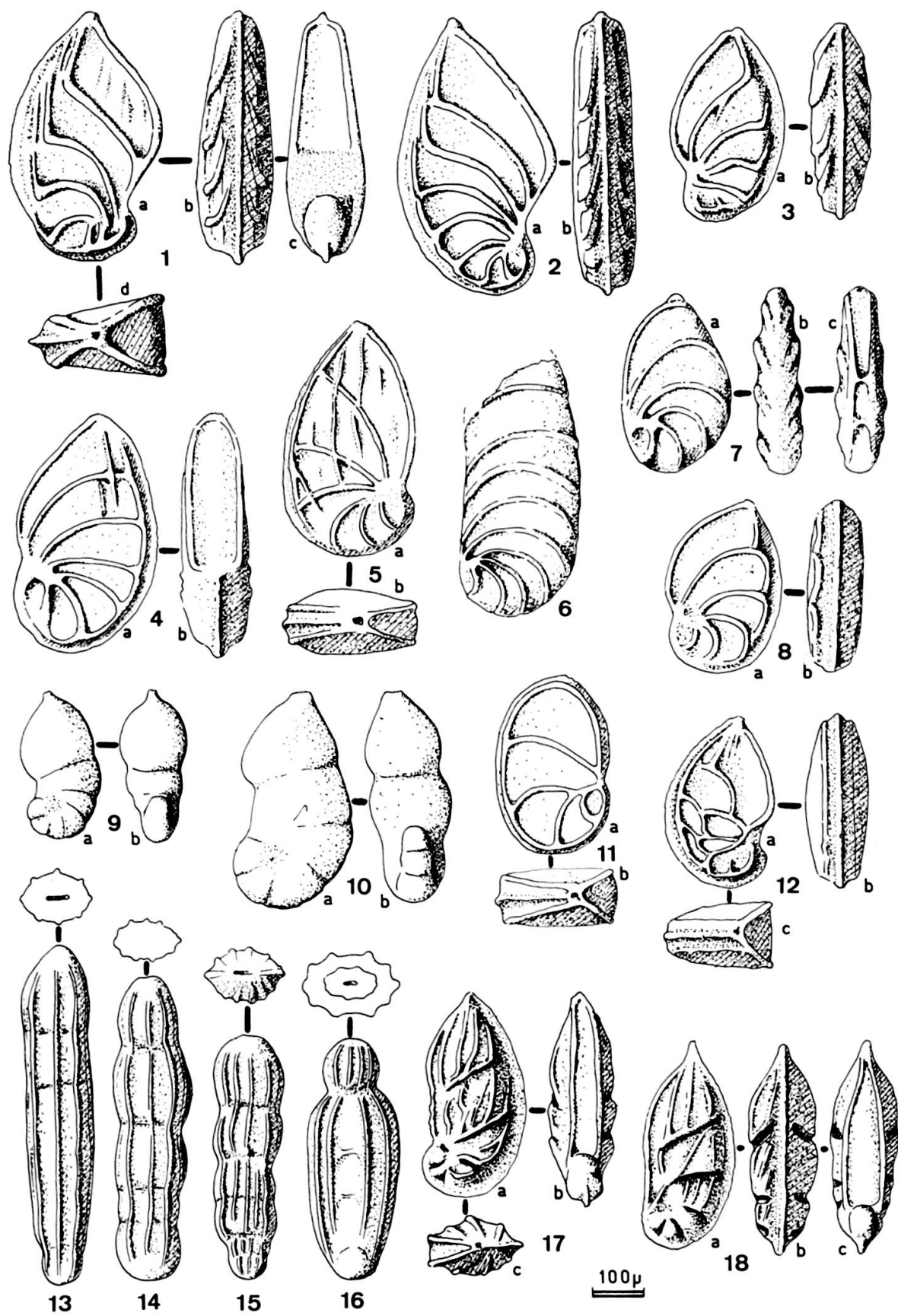
FIG. 7. — Faune à *Trochamminidae*-*Verneuilinidae*-*Textulariidae*, W342 b, calcaire biodétritique fin à petits pellets, Valfin s/Valouse, Bathonien.

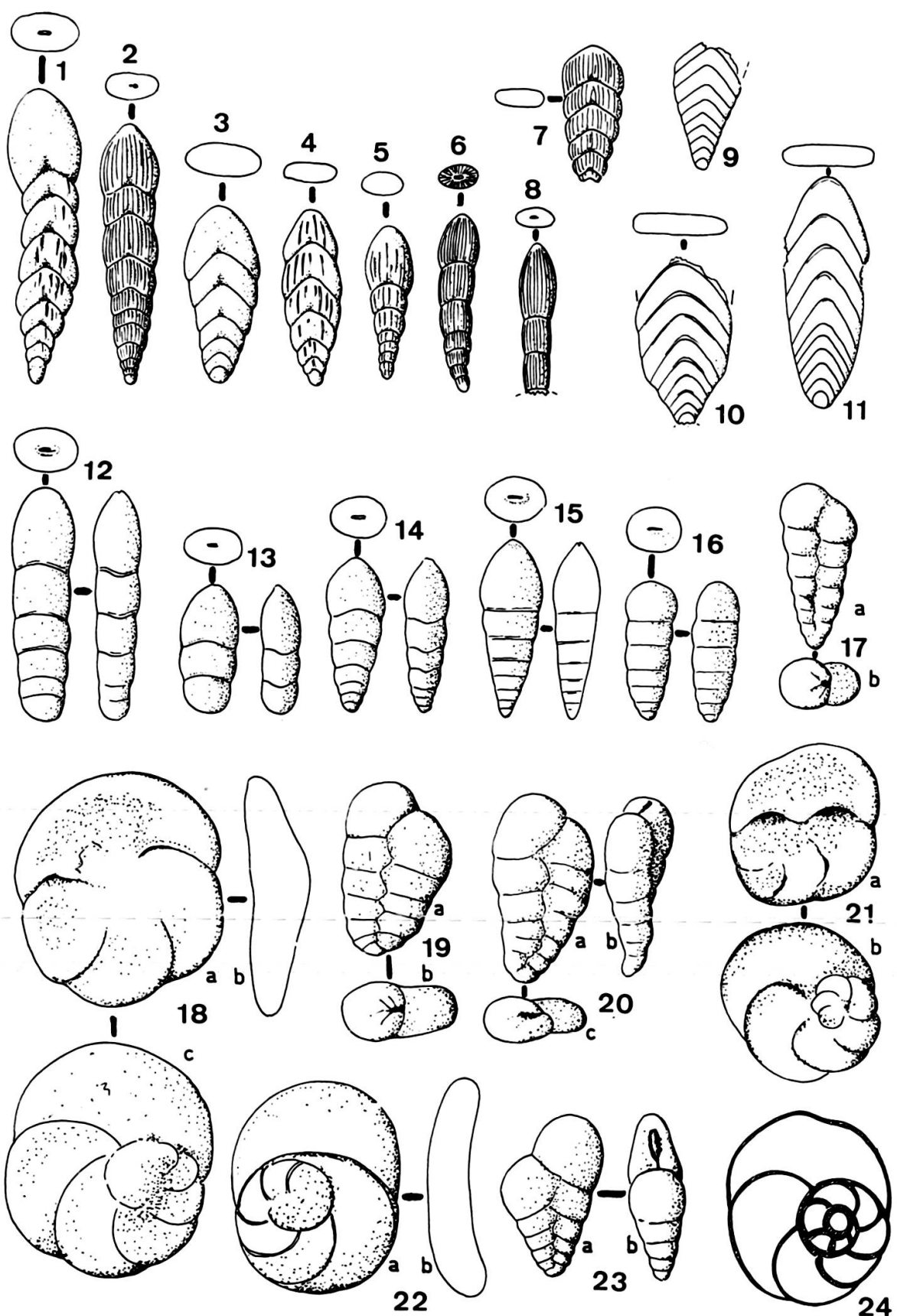


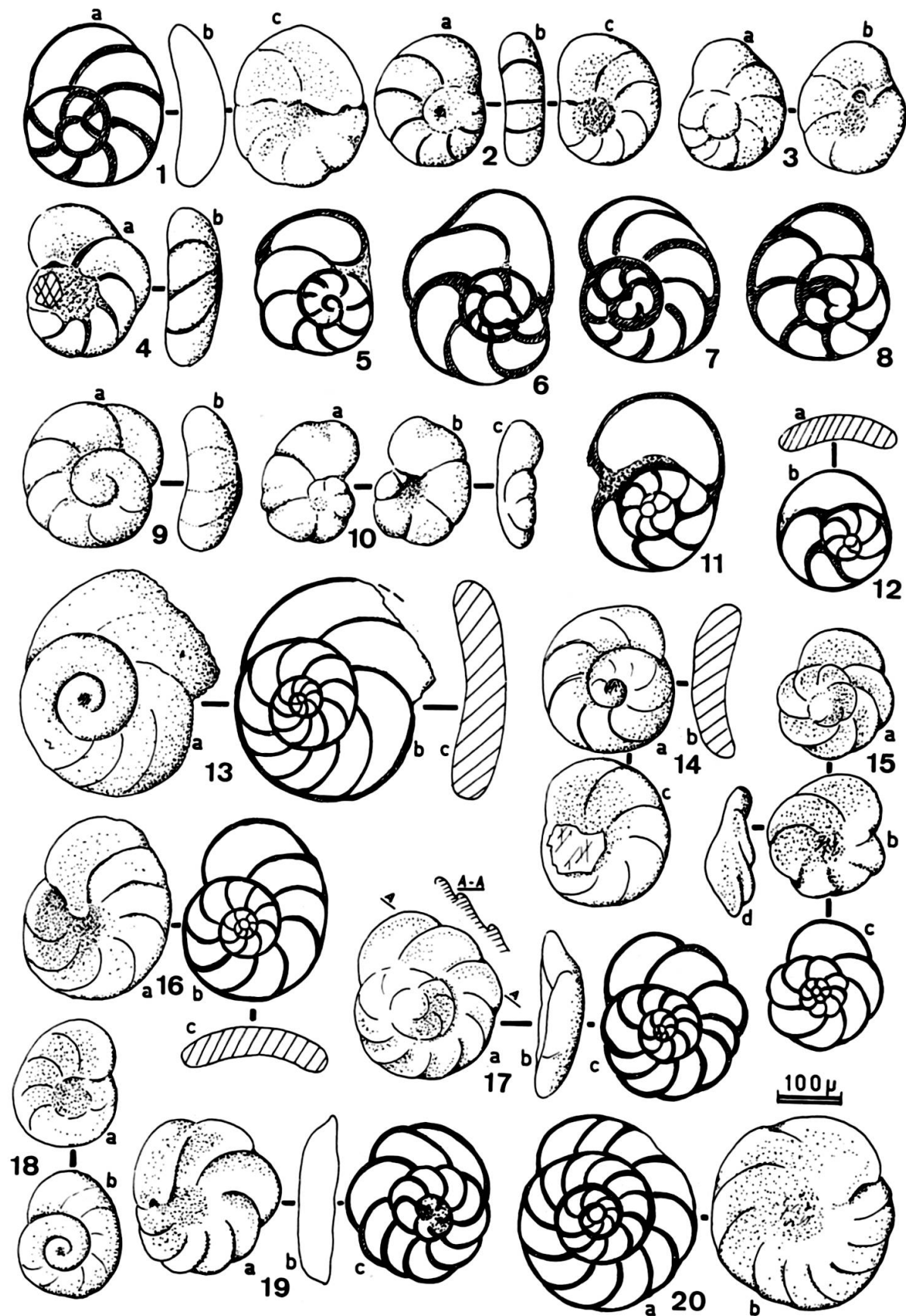


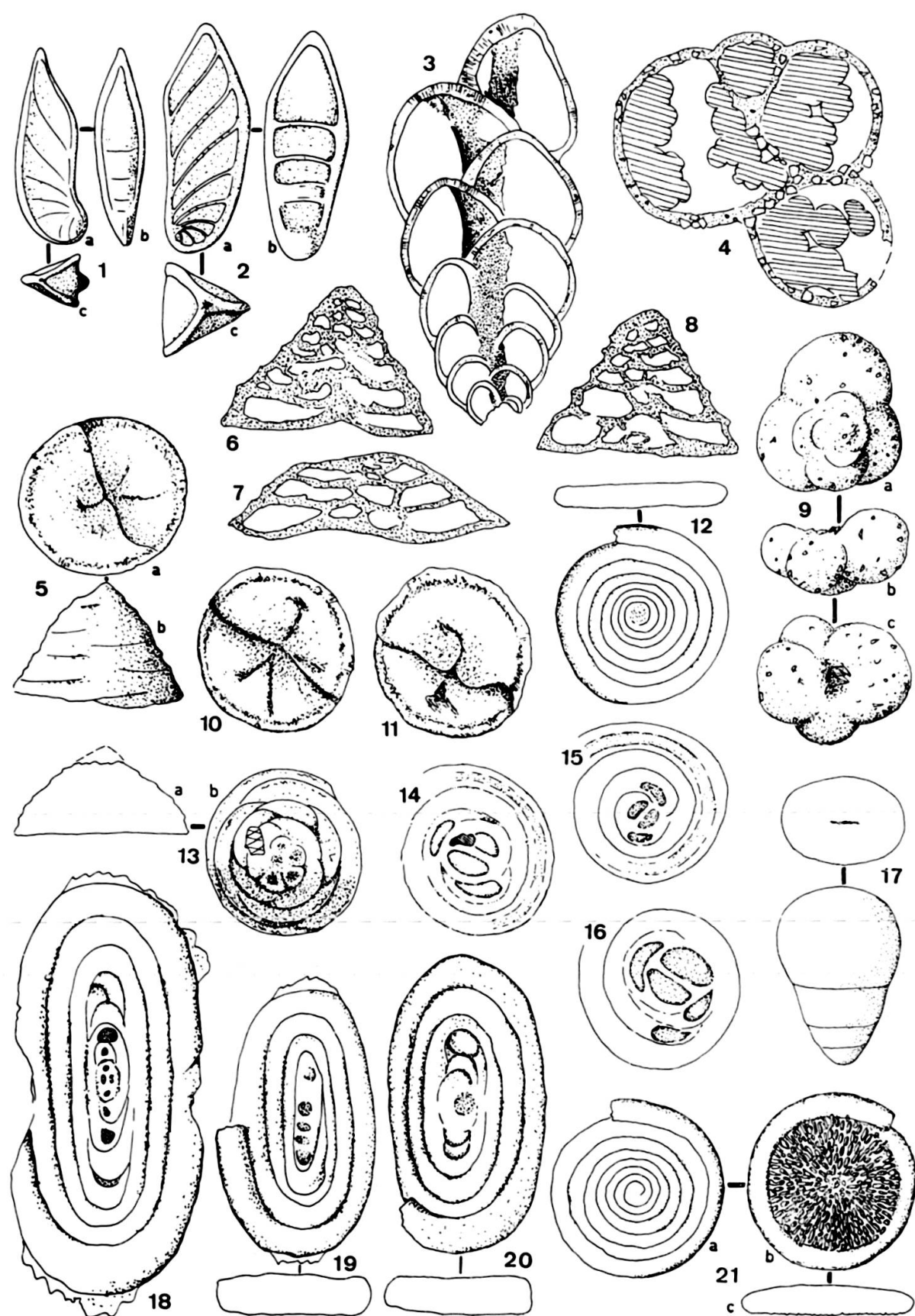








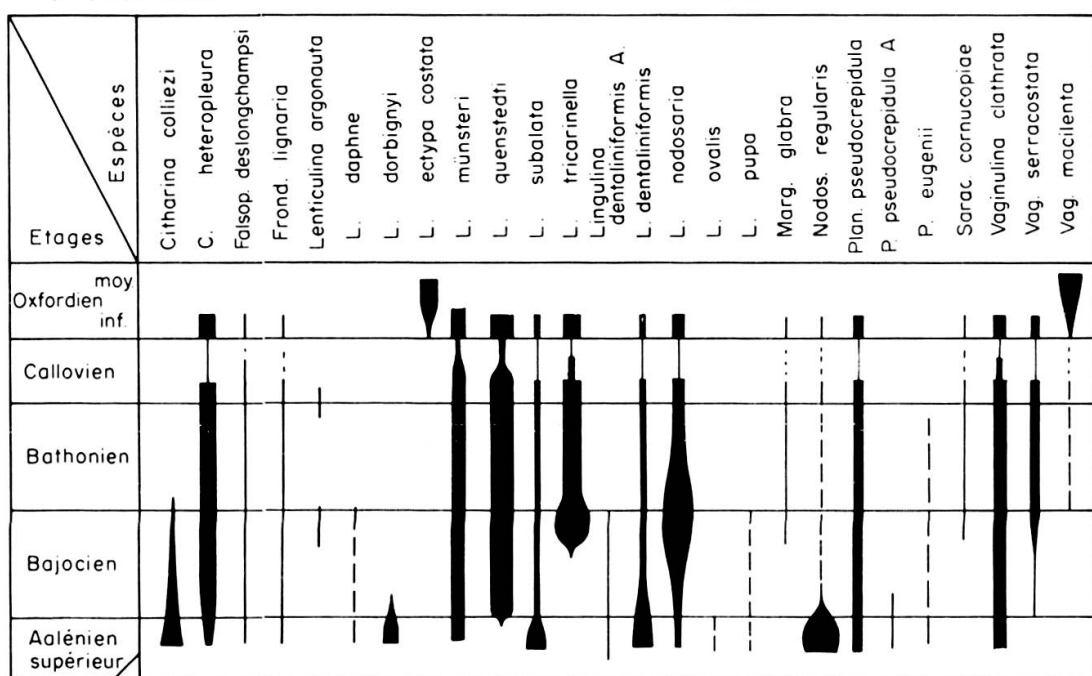




**Fig.1.** Distribution stratigraphique des foraminifères du Dogger du Jura méridional.

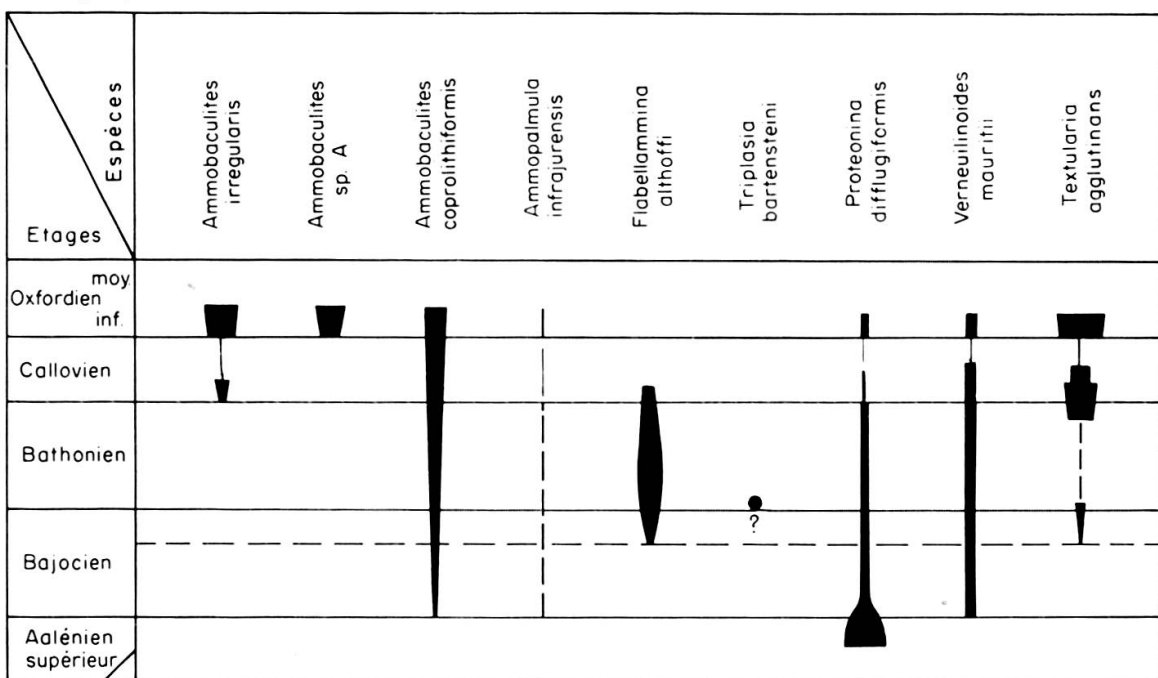
$\approx$ 100 indix

## NODOSARIACEA ( formes dégagées )



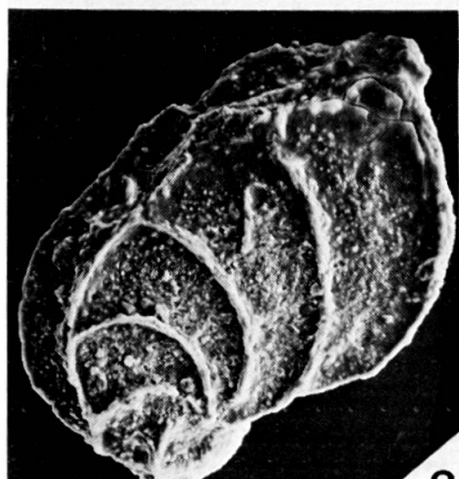
**Fig.2.** Distribution stratigraphique des foraminifères du Dogger du Jura méridional.

... ~150 indiv. AGGLUTINÉS ( formes dégagées )

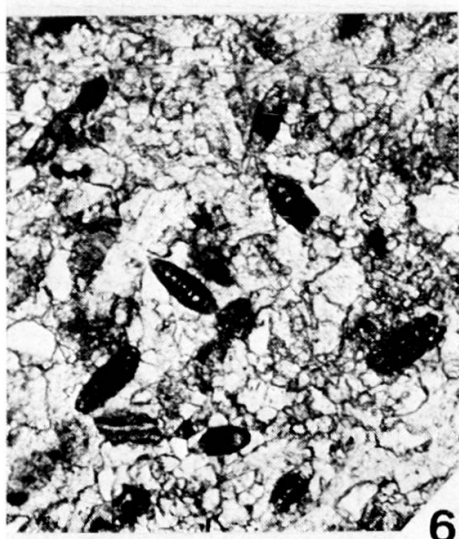




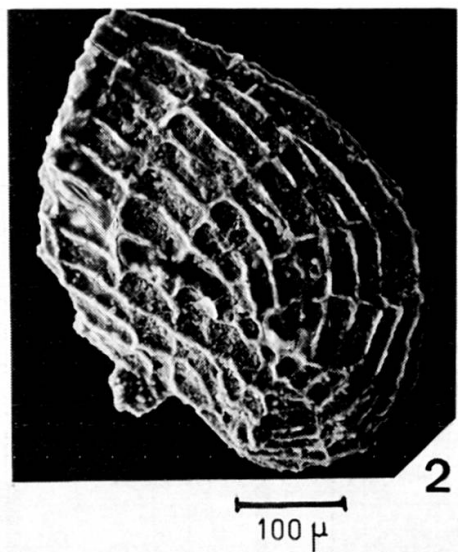
1



3



6



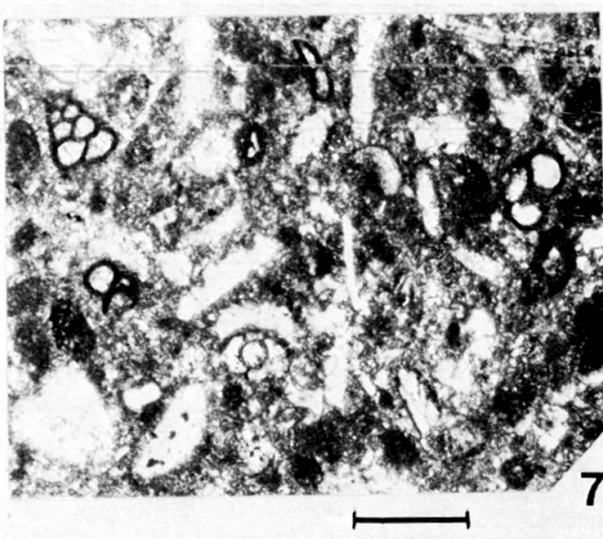
2



4



5



7

$100 \mu$

$200 \mu$